

التقييم النوعي والكمي للتعرية المائية لحوض وادي كاهردي (شمال العراق) باعتماد منهجية
CAR-PAP وخوارزمية الاشجار العشوائية Random forest باستخدام (GIS. RS. Geo
AI)

أ.م.د. صلاح عثمان عبد العاني
المديرية العامة لتربية الانبار

Dr.salah.ALani@gmail.com

م.د. علي سليمان ارزيك الكربولي
المديرية العامة لتربية الانبار

alisu8720@gmail.com

م.د. سميح عبد الغفور جاسم الهيتي
المديرية العامة لتربية الانبار

prog85sameeh@gmail.com



Qualitative and quantitative assessment of water erosion in the Kaherdi Wadi Basin
(northern Iraq) adopting the CAR-PAP methodology and the random forest
algorithm using (GIS.RS.Geo AI)

D.r Salah Othman Adnan Al-Ani
General Directorate of Anbar Education
sssss@gmail.com

Dr.Ali Suleiman Arzik
Al-Karbouli

General Directorate of Anbar Education
alisu8720@gmail.com

Dr. Sameeh Abdulghafour Jassim Al-Hiti
General Directorate of Anbar Education
prog85sameeh@gmail.com



المستخلص:

أن قياس التعرية المائية باعتبارها أحد أهم العمليات الجيومورفية أمر غاية الأهمية لانعكاس تأثيرها على مختلف الاز شطية البرية، وتتأثر التعرية المائية بعوامل طبيعية عدة منها (المناخ، التربة ومدى قابليتها للتعرية، الغطاء الار ضي وكثافته، فضلاً عن شدة الانحدار) وللو وصول إلى نتائج دقيقة يسعى الباحثون إلى استخدام إنموذج (PAP-CAR) المعروف بدقة محاكاته لمعطيات التدسس النائي وقياس حجم التعرية المائية من بعد ذلك محاكاة النتائج التي سيتم التوصل لها باستخدام خوارزمية الا شجار العشوائية (Randomforest) كواحدة من خوارزميات الذكاء الاصطناعي التي يمكنها التنبؤ بنتائج التعرية المائية لاتخاذ قرارات علمية دقيقة للحد من تأثيرات البيئة السلبية.

اذ تخضع منطقة البحث باعتبارها جزءاً من العراق لمناخ البحر المتوسط، حيث سجلت محطات (اربيل، شقلاوة، كويسنجق) معدل درجة حرارة سنوي للمدة من (2000-2020) بلغ (20.69؛ 18.47، 22.43م)، وكميات تساقط مطري مرتفعة للمدة والمحطات ذاتها، بلغت (401، 674، 803 ملم)، وامتازت الشبكة المائية للحوض بتشعبها وكثافتها وفقاً لطبيعة المنكشفات الصخرية وشدة مقاومتها للتعرية من جهة وطبيعة التساقط المطري وكمياته من جهة اخرى.

اظهرت النتائج أن التقييم النوعي والكمي للتعرية المائية وفق نموذج (PAP/CAR) قد تباين داخل الحوض بين (الضعيفة الى الشديدة جداً) وأن سبب هذا التباين عائد إلى تباين صلابة الصخور ووجود النبات الطبيعي واختلاف كثافته بين منطقة واخرى، أما بالنسبة للنتائج التي توصلت اليها خوارزمية الاشجار العشوائية (Randomforest) فقد أكدت هي الأخرى التأثير الكبير للتعرية المائية في تشكيل المظهر الخارجي لحوض وادي كاهردي وعزت سبب ذلك إلى تفاوت عنا صر المناخ بين سنة وأخرى من جهة وطبيعة الصخور واختلاف نوعيتها ووجود النبات الطبيعي من عدمه من جهة لأخرى.

الكلمات المفتاحية : التقييم - التعرية - الكمية - خوارزمية

Abstract

Measuring water erosion as one of the atheyGeomorphic processesIt is extremely important because its impact is reflected in various human activities, and it is affected Watererosion afterI hope is naturalthis Of which(Climate, soil and its susceptibility to erosion, land cover and its density, as well as the severity of the slope) To reach accurate results, researchers seek to use a model (PAP-CAR) is known for accurately simulating remote sensing data and measuring the extent of water erosion from a distancethatSimulating the results that will be reached using the random tree algorithm (Random forestAs one of the artificial intelligence algorithms that can predict the results of wa ter erosion to make accurate scientific decisions to reduce negative environmental impacts.

The study area, as part of Iraq, is subject to a climate the sea Average, where recorded stations(Erbil, Shaqlawa, Koysanjak)an average degree heat annual For the duration from (2000-2020)reach(20.69;18.47,22.43M), And quantities falling High rainfall for the same period and stations, it reached(401,674,803mm), on In a row, it excelled the network Watercolor For the basin According to its branching and density For nature The exposed ones Rocky And severity Resist it To strip from Side And nature Precipitation Al-Matari And its quantities from Side Other .The results showed that Evaluation Qualitative To strip Watercolor according to model (PAP/CAR) may be contrast inside The basin between(low, Severe Very) and that the reason for this discrepancy is due to the variation in the hardness of the rocks, the presence of natural vegetation, and the difference in its density from one region to another. As for the results reached by the random tree algorithm (Random forestIt also confirmed the significant impact of water erosion in shaping the external appearance of Wadi Kaherdi Basin and attributed the reason for this to the variation in climate elements from one year to another, on the one hand, and the nature of the rocks, their different types, and the presence or absence of natural vegetation, on the one hand, and the presence or absence of natural vegetation, on the one hand, on the other.

Keywords: evaluation - stripping - quantitative - algorithm

المقدمة:

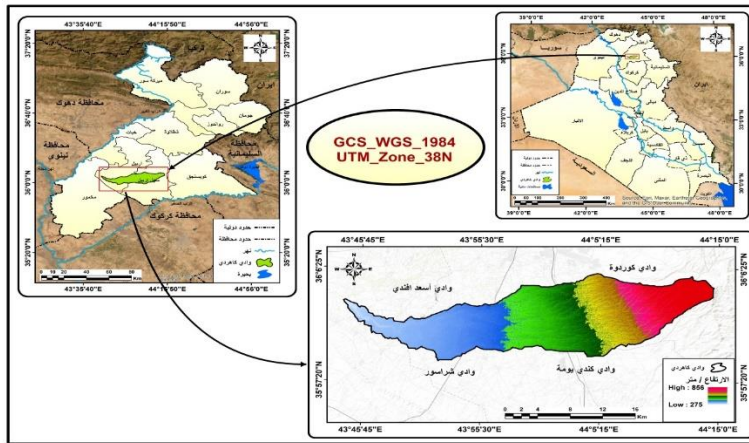
تُعدّ التعرية من العمليات الجيومورفولوجية المهمة وذلك للآثار الجسيمة التي تتركها على سطح الأرض عبر أحداثها ا شكالاً أر ضية جديدة وب شكل دائم دون توقف، عبر ما تحمله بين طياتها من عوامل نحت ونقل وارساب معاً، حيث لا تقتصر مهمتها على تفتيت و بري الصخور فقط، بل حملها ونقلها صغيرة كانت أم كبيرة من مكان لآخر، تعتمد التعرية المائية بالدرجة الاساس على غزارة الامطار وحجم قطراتها لاسيما المتساقط منها على المناطق المكشوفة والسفوح والمنحدرات الجبلية، محدثةً جرياناً سطحياً فوق الأرض مما يجعلها عملية جيومورفولوجية مميزة⁽¹⁾ نظرا لما تتركه التعرية المائية من اثار سلبية على التربة وما يرافق ذلك من تدهور للأراضي الزراعية، وتراجع إنتاجيتها، وتأثيرها السلبي على نوعية المياه والبيئة، بات من اللازم ان نضع هذه الم مشكلة بعين الاهتمام من أجل اتخاذ التدابير الناجعة وتطوير الحلول اللازمة لهذه الم مشكلة، وهذا لا يمكن الو صول اليه إلا عن طريق التمكن من تقدير كمياتها بدقة، وهو أمر صعب نظراً لتعقيد العوامل المتحكمة والمسببة لهذه الظاهرة ، مما أدى إلى تطوير نماذج محاكاة لتقييم كميات التربة المنجرفة وإعداد خرائط لتعرية التربة وتحديد المناطق المعرضة لهذا الخطر، ومن هذه الادوات تقانات التحسس النائي RS ونظم المعلومات الجغرافية GIS باعتبارهما ادوات يمكنها تطوير نماذج محاكاة مختلفة لتقييم وتقدير كمية التربة المنجرفة وفي إعداد خرائط تعرية التربة وحصر مناطق خطورتها فضلا عن المساهمة في اقتراح إجراءات صيانة التربة في هذا البحث سيتم استخدام انموذج (CAR-PAP) باعتباره نموذج رياضي يستخدم لتقييم الخطر الكامن والفعلي للتعرية المائية فضلا عن ا استخدام الذكاء الاصطناعي بغية الو صول إلى نتائج دقيقة تعكس لنا تعرية التربة في حوض كاهردي وفقاً لطبيعة ونوعية البيانات الم ستخدمة في بناء أنموذج التعرية وهذا ما سنلجأ إليه ايضا عبر استخدام خوارزمية (Randomforest)⁽²⁾

ينطلق البحث من تساؤل مفاده: كيف تؤثر الخصائص الطبيعية على التعرية المائية في حوض كاهردي؟ وهل لكثافة الغطاء النباتي أثراً على التعرية المائية؟ وهل يمكن تقييم هذا الاثر نوعياً وكمياً؟

لتأتي الاجابة على النحو التالي: تتميز منطقة البحث بعوامل طبيعة اسهمت بزيادة عمليات التعرية المائية بشكل فاعل اذ ادت تلك العوامل إلى توسع الشبكات المائية (المورفومترية) وهذا يجعل عملية تقييم أثر هذه العمليات نوعياً وكمياً أمراً قائماً.

موقع منطقة البحث: تم انتخاب حوض وادي كاهردي الواقع شمال العراق في محافظة أربيل بين دائرتي عرض ($36^{\circ}6'3''N$ - $35^{\circ}58'55''N$) وخطي طول ($44^{\circ}14'37''E$ - $43^{\circ}44'19''E$)، ضمن الرصيف غير المستقر جيولوجياً (ينظر الخريطة 1)، ومن المعلوم أن تلك المناطق يرتفع فيها التساقط المطري مما يعني ازدياد عمليات التعرية بشاكلة هائلة، تبلغ مساحة هذا الوادي (306 كم)، ممتداً فوق سطح هضبي متموج يتباين ارتفاعه بين (275م) بالقرب من مصب الوادي و(856 م) في أجزائه الشرقية، تتكشف في الوادي تكوينات جيولوجية عدة تعود للزمنين الجيولوجيين الثالث والرابع كان لها الاثر الواضح في طبيعة العمليات الجيومورفولوجية السائدة فيه مما جعله يتسم بالتضرس وشدة الانحدار.

خريطة (1) موقع منطقة البحث



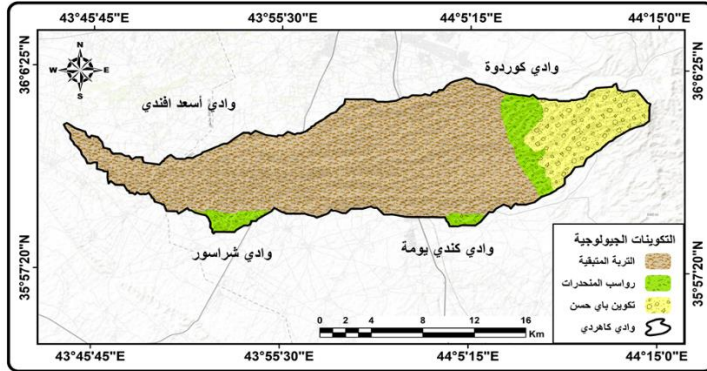
المصدر: عمل الباحث بالاعتماد على برنامج Arc Map 10.8

أولاً: التكوينات الجيولوجية في منطقة البحث: إن دراسة التتابع الطباقية أهمية كبيرة في الدراسات الجيومورفولوجية والهيدرولوجية الـ سائدة في حوض كاهردي، فإنها تعكس تفاصيل عديدة لاسيما تلك التي تتعلق بنوع الصخور وخصائصها مما يسهل فهم اسباب تكوين الكثير من المظاهر المتكونة وطبيعة العمليات الجيومورفولوجية فضلاً عن تفسير أنماط المجاري المائية وقابلية الصخور ومدى استجابتها لعمليات التعرية المائية، تقسم التكوينات الجيولوجية في وادي كاهردي إلى:

1. ترسبات المنحدرات

تعود ترسبات المنحدرات إلى عصري البلايستوسين والهولوسين وتكون هذه الترسبات على شكل انطقة أو تكون متناثرة تحيط بالمنحدرات ضمن المنطقة وترسب ايضاً على طول المنحدرات ذات الميل القليل وتتجزء بواسطة المجاري المائية القادمة من المناطق المرتفعة، وتتكون من رواسب مختلفة الاحجام مثل الترب الرملية والغرينية والطينية والقطع الصخرية ومدملكات واحياناً، سمك هذه الترسبات متباين من مكان الآخر، معتمداً بذلك على كمية المياه الجارية وعلى انحدار السفوح⁽³⁾ وتظهر في الاجزاء الشرقية ومناطق الصغيرة غرب منطقة البحث، شاغلة مساحة تقدر بـ (26 كم²) وبنسبة (8.5%) من منطقة البحث ينظر (الجدول 1)، وتمتاز بنفاذيتها العالية للمياه وضعف مقاومتها للتعرية المائية.

خريطة (2) التكوينات الجيولوجية



المصدر: جمهورية العراق، وزارة الصناعة والمعادن، المنشأة العامة للمسح الجيولوجي والتعديني، خريطة الجيولوجية، لسنة 2000، مقياس 1:250000، ومخرجات برنامج Arc Map 10.8.

جدول (1) مساحة التكوينات الجيولوجية في منطقة البحث

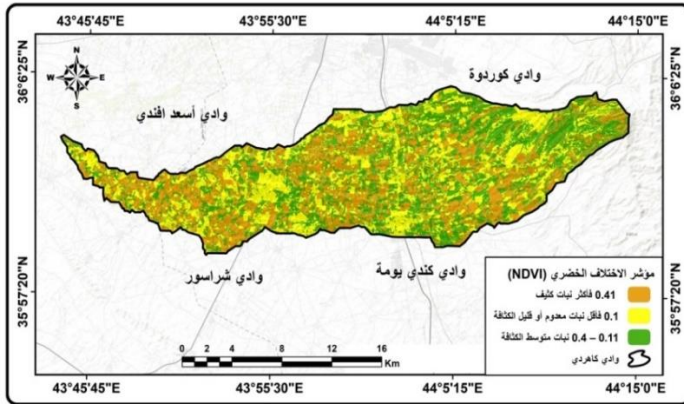
النسبة	كم ²	التكوين
77.4%	237	التربة المتبقية
14.1%	43	تكوين باي حسن
8.5%	26	رواسب المنحدرات
100.0%	306	مساحة الحوض

المصدر: بالاعتماد على الخريطة (2) ومخرجات برنامج Arc Map 10.8 .

2. تكوين باي د سن: يظهر هذا التكوين على شكل تضاريس وعرة في الجهات الشرقية من منطقة البحث، مكوناً من طبقة مدمكات يتراوح سمكها بين (50-80م) متداخلة مع الحجر الرملي والاصلاصالي، سمك هذا التكوين متغير اعتماداً على طبيعة بيئة الترسيب ويتراوح بين (420-857) ويغطي مساحة (43كم²) من منطقة البحث بنسبة (14.1%) ينظر (الجدول1)⁽⁴⁾

3. التربة المتبقية: ترب اشتقت من الصخور التي تتركز عليها، لذا فإنها غنية بالمعادن التي تتكون منها هذه الصخور وتعد التربة المتبقية من ترسبات الزمن الرباعي التي يعود عمرها إلى عصر البلايستوسين والهولوسين، وتغطي مساحة كبيرة وواسعة من منطقة البحث مشكلاً (237كم²)، بنسبة (77.4%).⁽⁵⁾

خريطة (3) مؤشر الاختلاف الخضري (NDVI)



المصدر: بيانات القمر الصناعي (Land sat + OLI 8) بتاريخ 2023/3/22، ومخرجات برنامج ArcMap 10.8

ثانياً: الغطاء النباتي: تم استخراج كثافة الغطاء النباتي من المرئية الفضائية من القمر LandSat المنطقة البحث، بالاعتماد على مؤشر (NDVI)، و صنف الغطاء النباتي إلى ثلاثة اقسام، ينظر (الخريطة3) و (الجدول2)

جدول (2) مؤشر الاختلاف الخضري (NDVI)

النسبة	كم2	مؤشر الاختلاف الخضري (NDVI)
30.1%	92	0.1 فأقل نبات معدوم أو قليل الكثافة
36.9%	113	0.11 – 0.4 نبات متوسط الكثافة
33.0%	101	0.41 فأكثر نبات كثيف
100.0%	306	المجموع

المصدر: المصدر: بالاعتماد على الخريطة (3). ومخرجات برنامج Arc Map 10.8 .

ثالثاً: الخصائص المناخية: يعد المناخ بعنا صره المختلفة عاملاً فعالاً في تشكيل مظاهر ال سطح وتطورها، عبر م ساهمتها في تنشيط العمليات الجيومورفولوجية كالتعرية والتجوية (الميكانيكية والكيميائية)، فضلاً عن انعكاس تأثيره وتحكمه بالدورة الهيدرولوجية للمياه، وهذا سينعكس بشكل كبير على نشاط التعرية المائية وللوصول إلى نتائج دقيقة تم انتخاب ثلاث محطات هي (أرييل، كويسنجق، شقلاوة)، لدراسة الواقع المناخي في منطقة البحث كما مبين في الجدول (3) .

رابعاً: طرائق تقدير التعرية المائية باستخدام نموذج PAP/CAR: يعد نموذج التقييم النوعي للتعرية المائية (PAP/CAR) اكثر النماذج استعمالاً، وذلك لسهولة تطبيقه، وتم تطبيقه أول مرة سنة 1984 من قبل منظمة FAO والمركز العربي لدراسة الأراضي الجافة ACSAD في المناطق المطلة على البحر المتوسط، تتسم منهجية PAP/CAR بإعطائها نتائج قياس للتعرية المائية قريبة جداً من الواقع، وذلك عبر اعتمادها على التفاعل الحاصل بين العناصر المكونة للوسط الجغرافي بغية تحديد المناطق الأكثر هشاشة وقابلية للتعرية، وتمثيل ذلك بخرائط خاصة لقابلية التربة للتعرية، لتحقيق بذلك أهدافاً تسهم في الحد من آثار التعرية المائية عبر حصر وتقليل مخاطر التعرية المائية والحفاظ على كافة الاستعمالات المتواجدة في المنطقة، ولاكمال هذا النموذج تم الاعتماد على المخطط (1) .

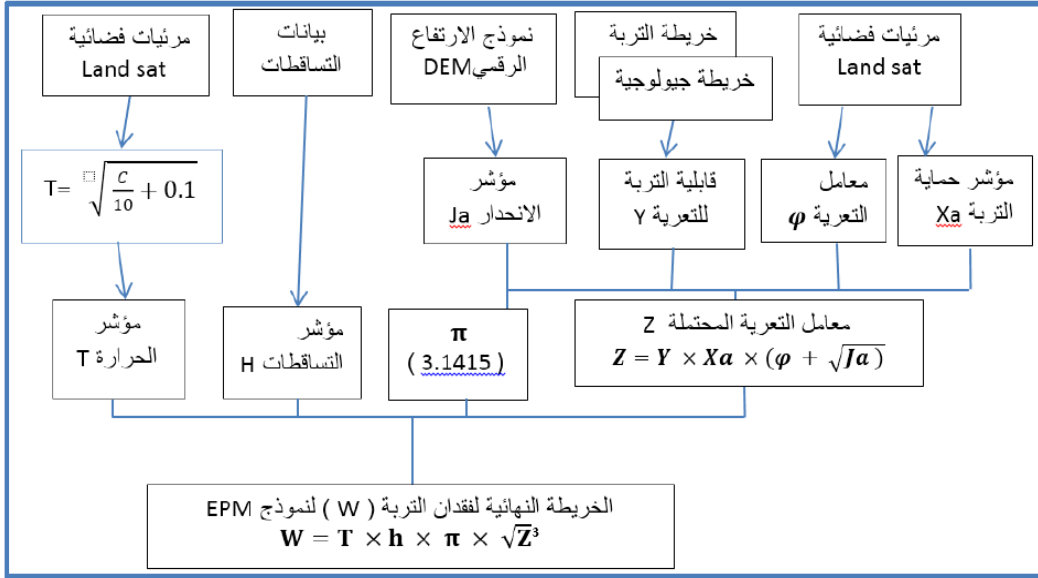
الجدول(3) المعدلات الشهرية والمعدل السنوي لدرجات الحرارة والامطار والرطوبة والتبخر (م) للمدة (2000-2020)

المعد ل	ك1	ت2	ت1	ايلو ل	اب	تموز	حزيرا ن	ماي س	نيس ان	اذار	شباط	ك2	
حرارة													
20.6	9.6	15	23.5	29.9	31	32	31.8	25.9	19	13.4	9.2	8	اربيل
20.4	8.7	27	29	34.8	30.3	31	30.9	24.9	18.4	13.8	8.7	7.5	كويسن جق
18.4	6.9	12	21	36.4	31.6	32.1	29.1	22.1	16.2	12.5	6.8	4.9	شقاوة
الرياح													
2.2	1.8	1.9	2	2	2.2	2.3	2.4	2.6	2.7	2.4	2.7	2.1	اربيل
2	1.9	1.9	1.5	2	1.9	2.9	2.6	2	1.8	1.8	2.3	2.1	كويسن جق
1.9	1.9	1.3	1.8	1.3	1.3	1.7	1.4	1.7	2.4	2.3	4.2	2.6	شقاوة
الامطار													
401.3	65.5	36.2	25.6	14.9	-	-	5.3	11.3	44.9	61.5	74.8	61.3	اربيل
674.8	92.1	69	62.5	14.7	-	-	3.7	13.4	72.2	95.1	111.9	140.2	كويسن جق
803	132.2	66.4	39.4	12	-	-	2.1	22.5	95.6	12.2	172.6	132.2	شقاوة
الرطوبة													
45.4	65.6	53.4	42.8	32.4	27	24.2	25.5	34.8	49.8	55.2	64.6	70.2	اربيل
51.1	50	51.1	47.1	42.7	40.2	32.9	35.6	50.8	60.5	60.6	70.1	71.3	كويسن جق
47.6	65	53.5	37.6	29.9	29.5	31.3	37.3	48.4	54.4	58.6	66.8	59.4	شقاوة
التبخر													
122.2	30.4	53.8	113.1	17.8	228.6	242.4	221	159.1	96.5	71.9	42.3	29.4	اربيل

المصدر بالاعتماد على اقليم كردستان العراق، الهيئة العامة للأنواء الجوية، اربيل، بيانات غير

منشورة، 2020

المخطط (1) اللازم لاتمام تطبيق انموذج (Gavrilovic)



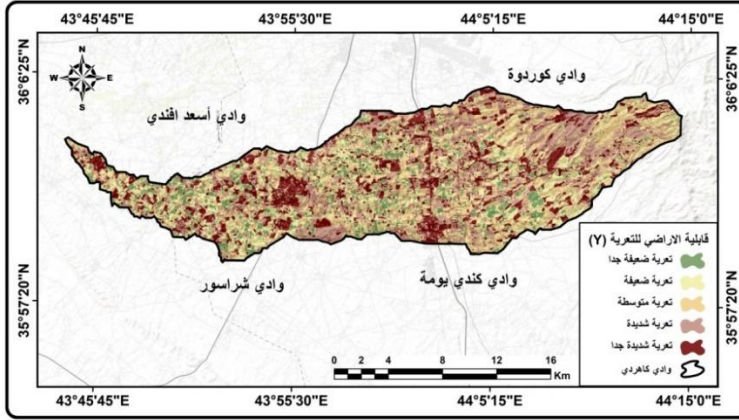
المصدر: بالاعتماد على المعادلات الخاصة (Gavrilovic) (EPM)

1. مؤشر قابلية التربة للتعرية (Y) : لاستخراج قيمة هذا المؤشر تم الاعتماد على الخريطة الجيولوجية وخريطة الغطاء النباتي للحوض وفقا لنتائج المعادلة الآتية:

$$Y = \frac{B.RED - B.BLUE}{B.RED + B.BLUE + B.GREEN}$$

إذ أن زيادة قيم هذا المؤشر تدل على قوام سطح خشن، إذ تشير القيم الأعلى على ان التربة خشنة وقريبة من التحلل، وتصنف منطقة البحث إلى خمسة اصناف وفقا لقابليتها للتعرية، ينظر الخريطة (4) والجدول (4) اللذين يو ضحان ان م ساحة قابلية التربة للفئة الاولى (ضعيف جدا) شغلت م ساحة قدرها (31 كم²) من منطقة البحث أما بالنسبة للفئة (ضعيف) فقد شغلت م ساحة قدرها (56 كم²) من منطقة البحث في حين قد شغلت التعرية المتوسطة م ساحة (78 كم²) من اجمالي م ساحة منطقة البحث وبذ سبة (25.4%) في حين شغلت التعرية الا شديدة والا شديدة جداً (46.1 كم²) وهذا يعني ان منطقة البحث معرضة لعمليات التعرية بشكل كبير بسبب طبيعة تركيب تربتها ذات الحجوم والدقائق الغير متجانسة والمفككة مما يجعلها اكثر عرضة لعمليات التعرية المائية .

خريطة (4) قابلية التربة للتعرية



المصدر: بالاعتماد على برنامج ArcMap 10.8

جدول (4) قابلية التربة للتعرية في حوض وادي كاهري

النسبة	كم	قابلية الاراضي للتعرية (Y)
10.0%	31	تعرية ضعيفة جدا
18.4%	56	تعرية ضعيفة
25.4%	78	تعرية متوسطة
28.6%	87	تعرية شديدة
17.5%	54	تعرية شديدة جدا
100.0%	306	

المصدر: بالاعتماد على الخريطة (4) ومخرجات برنامج Arc Map 10.8 .

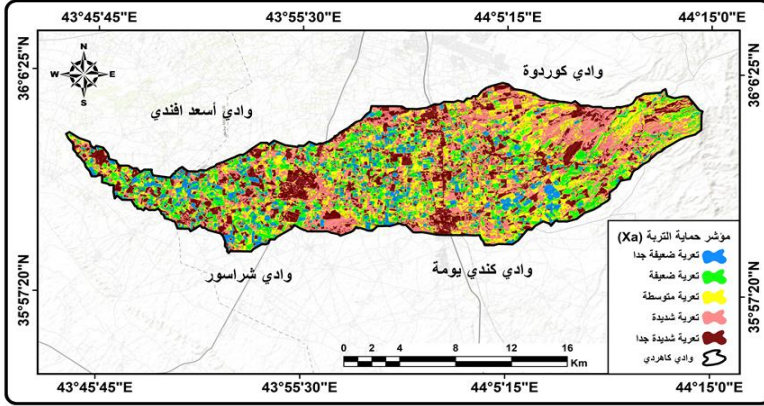
2. مؤشر حماية التربة **Xa**: يرتبط هذا المعامل ارتباطاً مباشراً بالغطاء الخضري وأثره في الحد من تعرية التربة وانجرافها خلال سقوط الامطار، مما يجعله يتناسب طردياً مع كثافة الغطاء الذي يمنع قطرات الامطار المتساقطة من الارتطام بـ سطح الأرض والحد من انجراف التربة، وهذا ما أكده نموذج (Gavrilovic)، معتبراً إياه الحد الفاصل لشدة التعرية المائية فأغصان الأشجار لها القدرة على اعتراض قطرات المطر والتقليل من قوتها القادرة على اقتلاع جزيئات التربة، وضع جافريلوفيك قيماً لحماية التربة، مستنداً بذلك إلى كثافة الغطاء النباتي⁽⁶⁾ من خلال استخدام المعادلة الآتية:

$$Xa = (Xa \text{ NDVI} - 0.61) * (-1.25)$$

اذ يتضح من (الخريطة 5) و(الجدول 5) أن مؤشر حماية التربة (Xa) للفئة الأولى (ضعيف جداً) بلغ (27 كم²)، بنسبة (8.8%) من اجمالي مساحة منطقة البحث، وهي الأراضى التي تتدشط فيها التعرية المائية الشديدة وذلك لقلّة الغطاء النباتي، وتنتشر في أجزاء متفرقة من وسط و شمال منطقة البحث، في حين بلغت مساحة الغطاء النباتي (الضعيف الكثافة) (52 كم²)، أي بنسبة (17%) من اجمال مساحة منطقة البحث، وهو ايضاً أراضى تتدشط فيها التعرية المائية وغالباً ما توجد هذه الفئة مجاورة للفئة الأولى، أما في المناطق التي يكون فيها المؤشر متوسط فبلغت مساحتها (76 كم²)، وبنسبة (24.8%) من مساحة منطقة البحث، ويكون نشاط التعرية المائية فيها متوسط، وتنتشر هذه الفئة في الأراضى المتوسطة الارتفاع بجوار أراضى الفئة الثانية، أما في المناطق التي يكون فيها هذا المؤشر شديد التعرية فبلغت مساحتها (92 كم²)، بنسبة (30.1%) وتتركز شمال شرق منطقة البحث في حين أن المناطق التي يكون فيها المؤشر ذي تعرية شديدة جداً فبلغت مساحته (59 كم²)، وبنسبة (19.3%) وتظهر بشكل ملحوظ وسط وغرب منطقة البحث وعند مطابقة نتائج هذا المؤشر في مع خريطة الغطاء النباتي (NDVI) (الخريطة 2) نجد مؤشر حماية التربة (Xa) يرتفع في الأراضى ذات الكثافة النباتية العالية، وتقل قيمة المؤشر في الأراضى الجرداء حيث بلغت مساحة الغطاء النباتي الشديدة الكثافة في منطقة البحث (101 كم²)، وبنسبة (33%) من مساحة منطقة البحث، وتقل فيها التعرية المائية نسبياً، وتنتشر في أجزاء واسعة من وسط وغرب منطقة البحث، فضلاً عن تخللها في وسط المنطقة اسفل المنحدرات، في حين شغلت الفئة الثانية التي تشير إلى المناطق الحاوية على نبات وبكثافة متوسطة مساحة (113 كم²) وبنسبة (36.9%) وتنتشر في ش منطقة البحث وشمال شرقها، في حين شغلت الفئة الثالثة المعدومة او القليلة النبات الطبيعي (92 كم²) وبنسبة (30.1%) التي تعكس لنا مناطق ذا التعرية الشديدة جدا وتظهر وتنتشر في غرب منطقة البحث و شمال شرقها، هذا التباين والاختلاف المكاني في طبيعة الغطاء النباتي سواء من

حيث الكثافة أم النوعية انعكس بشكل واضح على خصائص التربة وتما سكتها، مما أدى إلى تباين كبير النشاط التعرية المائية وجعلها معرضة إلى نشاط التعرية المائية لاسيما في الاجزاء الشرقية منها .

خريطة (5) مؤشر حماية التربة (Xa)



المصدر: بالاعتماد مخرجات برنامج Arc Map 10.8 .

جدول (5) مؤشر حماية التربة (Xa) في حوض وادي كاهري

النسبة	كم	مؤشر حماية التربة (Xa)
8.8%	27	تعرية ضعيفة جدا
17.0%	52	تعرية ضعيفة
24.8%	76	تعرية متوسطة
30.1%	92	تعرية شديدة
19.3%	59	تعرية شديدة جدا
100.0%	306	

المصدر: بالاعتماد على الخريطة (5) ومخرجات برنامج Arc Map 10.8 .

2. مؤشر تطور التعرية الحالية: حدد Milevski 2008 معادلة خاصة لحساب

هذا المؤشر بالاعتماد على المرئية الفضائية للقمر Landsat 8 وهي (7)

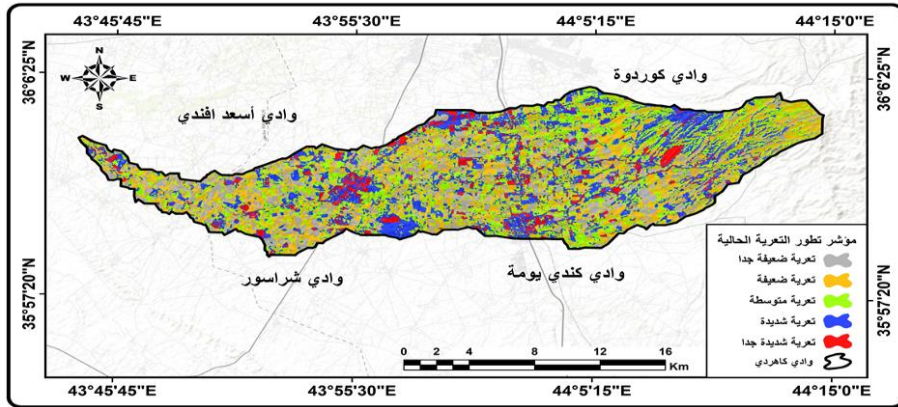
$$Q = \frac{\sqrt{TM3}}{Qmax}$$

TM3: النطاق الثالث في المرئية الفضائية

Q max: أقصى قيمة للإشعاع، حيث تزداد نسبة الإشعاع في الأماكن التي ترتفع فيها شدة التعرية.

يتضح من (الخريطة 6) و (الجدول 6) أن مؤشر تطور التعرية الحالية للفئة الأولى (ضعيف جداً) بلغ (50كم²)، بنسبة (16.4%) من اجمالي مساحة منطقة البحث، وهي الأراضي التي تقل فيها التعرية المائية بسبب طبيعة صخورها الصلبة المقاومة للتعرية، وتنتشر في أجزاء متفرقة من وسط وشمال منطقة البحث، في حين بلغت مساحة التعرية الضعيفة (77كم²)، أي بنسبة (25.1%) من اجمال مساحة منطقة البحث، وهو ايضاً أراضي تقل فيها التعرية المائية وغالباً ما توجد هذه الفئة مجاورة للفئة الأولى، وتمتاز بوجود غطاء نباتي كثيف، أما في المناطق التي يكون فيها المؤشر متوسط فبلغت مساحتها (90كم²)، وبنسبة (29.5%) من منطقة البحث، ويكون نشاط التعرية المائية فيها متوسط وتغطي معظم اجزاء منطقة البحث، أما في المناطق التي يكون فيها هذا المؤشر شديد التعرية فبلغت مساحتها (70كم²)، بنسبة (23%) وتنتشر في وسط وشمال شرق في حين أن المناطق التي يكون فيها المؤشر ذي تعرية شديدة جداً فبلغت مساحته (18 كم²) بنسبة (6%) وتظهر بشكل ملحوظ وسط وشرق وغرب منطقة البحث حيث الترب المفككة والاماكن الخالية من النباتات الطبيعي الامر الذي يزيد من نشاط التعرية.

خريطة (6) مؤشر التعرية الحالية



المصدر: بالاعتماد على مخرجات برنامج Arc Map 10.8 .

جدول (6) مؤشر تطور التعرية الحالية في حوض وادي كاهردي

النسبة	كم ²	تطور التعرية الحالية
16.4%	50	تعرية ضعيفة جداً
25.1%	77	تعرية ضعيفة
29.5%	90	تعرية متوسطة
23.0%	70	تعرية شديدة
6.0%	18	تعرية شديدة جداً
100.0%	306	

المصدر: بالاعتماد على الخريطة (5) ومخرجات برنامج Arc Map 10.8 .

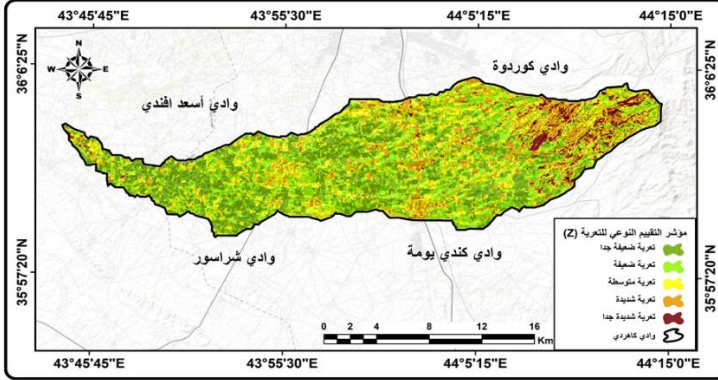
4. استخلاص قيمة التعرية المحتملة (Z) :

يعد هذا المؤشر مهماً لكشف تقدير التعرية المائية المحتملة اعتماداً على مجموعة من المؤشرات اللازمة لتطبيق مؤشر التعرية المحتملة (Z)، ودمج تلك المتغيرات في بيئة نظم المعلومات الجغرافية بشكل خرائط، واشتقاق خريطة التعرية المحتملة في أحواض منطقة البحث، بتطبيق المعادلة الآتية لاشتقاق الخريطة

$$Z = Y \times Xa \times (\varphi + \sqrt{Ja})$$

بعد تطبيق المعادلة تم اشتقاق خريطة التعرية المحتملة في حوض وادي كاهردي، وتوضح الخريطة (7) والجدول (7)، أن التعرية المحتملة تتباين من حيث النوع والمساحة، إذ أن المساحات التي تشغلها أنواع التعرية المحتملة جاءت متدرجة من حيث المساحات من الضعيفة جداً التي شغلت أعلى مساحة بلغت (84 كم²) من مجموع المساحة الكلية للحوض وبنسبة (27.5%) متمثلة بأجزاء الحوض الوسطى والدينا، تلتها التعرية الـ ضعيفة بمساحة (90 كم²) وبنسبة (29.4%) من مجموع الحوض وغطت الأجزاء الوسطى والشرقية من الحوض، ثم التعرية المتوسطة بمساحة (74 كم²) وبنسبة (24.2%) وتتوزع في معظم أجزاء منطقة البحث وبشكل متداخل مع التعرية الضعيفة، ثم التعرية المحتملة الشديدة وشغلت مساحة (42 كم²) وبنسبة (13.7%) وغطت بعض الأجزاء المتفرقة في وسط وشرق الحوض في المناطق ذات الارتفاعات العالية، وأخيراً التعرية المحتملة الـ شديدة جداً وشغلت مساحة (16 كم²) وبلغت نسبتها (5.2%) وتمثلت في الجزء الشرقي من الحوض متوافقة مع طبيعة التكوينات الصخرية الضعيفة والانحدارات الشديدة .

خريطة (7) التعرية المحتملة (Z)



المصدر: بالاعتماد على برنامج Arc Map 10.8

جدول (7) أنواع التعرية المحتملة (Z) ومساحاتها من وادي

النسبة %	المساحة كم ²	نوع التعرية
27.5%	84	ضعيفة جدا
29.4%	90	ضعيفة
24.2%	74	متوسطة
13.7%	42	شديدة
5.2%	16	شديدة جدا
100.0%	306	المجموع

المصدر: بالاعتماد على الخريطة (7) ومخرجات برنامج Arc Map 10.8 .

خامساً: تطبيق نموذج (EPM) لتقييم الكمي للتعرية المائية :

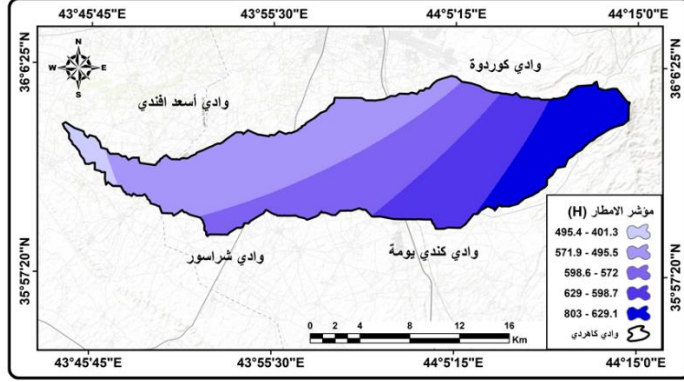
ولاستخراج هذا المؤشر لأبد من اعتماد عدد من المؤشرات التي سبق ذكرها فضلا عن مؤ شري الحرارة والامطار لغرض اكمال متطلبات المعادلة الخاصة بحساب التربة المفقودة و سيتم تطبيق هذا النموذج لتقدير كميات الإرسابات الناجمة عن التعرية المائية في حوض وادي كاهردي باستخدام المعادلة الآتية: ²

$$W=T \times H \times \pi \times \sqrt{Z}$$

1. مؤشر معامل التساقطات H: تعتمد قدرة قطرات المطر للتعرية على عدة عوامل متداخلة منها قدرة الامطار كعامل حت، وحجم قطرة المطر، وقوة سقوطها على الأرض، ومدى استجابة التربة لقوة ضربات المطر والقدرة على تعريتها،⁽⁸⁾ فتزداد كمية الجريان السطحي كلما ازدادت الشدات المطرية ليزداد معها معدل انجراف التربة، فعند سقوط الامطار على سطح التربة، أما أن تتسرب المياه الى

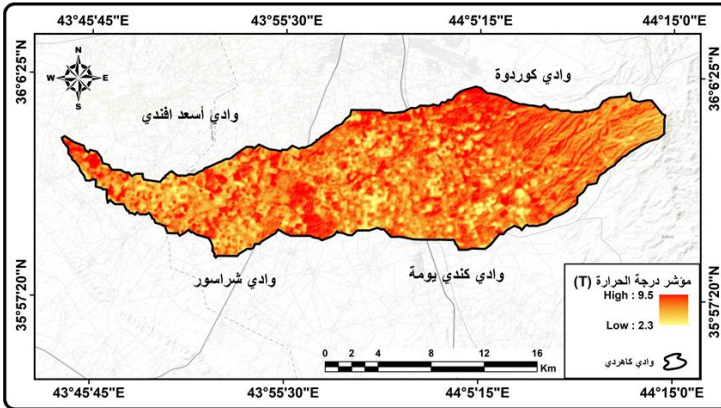
داخلها، أو تبقى على السطح مشكلة جريان سطحي يتجه أسفل المنحدرات جارفا معه التربة ومعرياً لسطحها، تم الاعتماد على محطات (اربيل، كويسنجق، شقلاوة) لرسم خريطة التساقط المطري المستخلص لمنطقة البحث.(9)

خريطة (8) مؤشر معامل التساقط H



المصدر: بالاعتماد على بيانات جدول (3) ومخرجات برنامج Arc Map 10.8 .
 2. مؤشر معامل الحرارة T: تأتي الحرارة كعامل مناخي بالمرتبة الثانية بعد الامطار من خلال تأثيرها في تحديد درجة التعرية المائية إذ تم الاعتماد في استخراج درجات الحرارة على مرئية القمر الصناعي Land Sat 8 عن طريق استخدام المعادلة الآتية: $T = \frac{-\sqrt{C}}{10} + 0.1$ ينظر (الخريطة 6) .

الخريطة (9) خريطة المعامل السنوي للحرارة



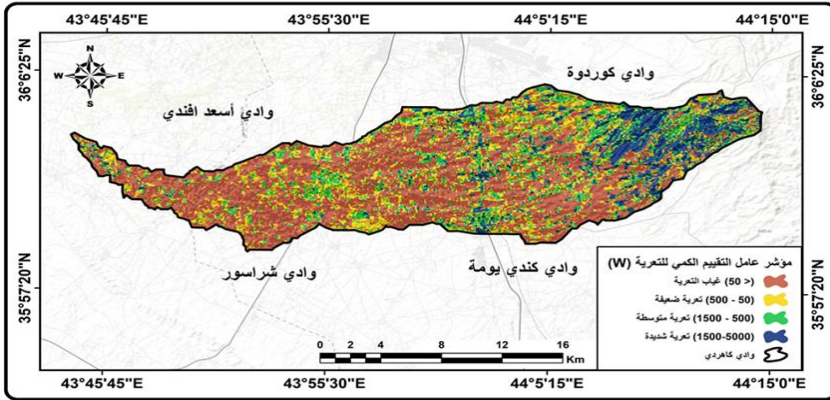
المصدر: بيانات القمر الصناعي (Land sat + OLI 8) بتاريخ 2023/3/22، ومخرجات برنامج ArcMap 10.8

حساب حجم التعرية المائية وفقاً لنموذج (EPM):

من خلال تطبيق معادلة جافريولوفيك تبين أن الحوض يقع ضمن أربعة أصناف التي اعتمدها هذا العالم إذ يتبين من الخريطة (10) والجدول (8) الذي يبين قيم التعرية المحتملة PAP/CAR، أن التعرية الضعيفة جداً شغلت مساحة (150 كم²)، بنسبة (49%) من مساحة الحوض، والتعرية الضعيفة شغلت مساحة (68 كم²) بنسبة (22.2%)، و شغلت التعرية المتوسطة مساحة (52 كم²) وبنسبة (17%)، أما التعرية الشديدة ف شغلت مساحة (20.51 كم) وبنسبة (5.94%)، و شغلت التعرية الشديدة جداً مساحة (36 كم²) وبنسبة (11.8%) من المجموع الكلي لمساحة الحوض، ليتضح لنا ما يأتي:

1. تباين مستويات أصناف التعرية المائية في الحوض ما بين الضعيفة جداً إلى شديدة جداً
2. مناطق التعرية الشديدة جداً تتسم بكونها ذات انحدار عالي مع توافر بعض الترب القابلة للتعرية.

خريطة (10) مؤشر عامل التقييم الكمي للتعرية (W)



المصدر: بالاعتماد على برنامج ArcMap 10.8

حيث أظهر استخدام نموذج PAP/CAR وجود علاقة عكسية بين الغطاء النباتي مع التعرية المحتملة، فقلة الصخور والغطاء النباتي يقابله زيادة في التعرية المحتملة، وكذلك العكس بشدة الصخور وكثافة الغطاء النباتي تقل التعرية المحتملة.

جدول (12) مؤشر عامل التقييم الكمي للتعرية (W)

النسبة	كم2	مؤشر عامل التقييم الكمي للتعرية (W)
49.0%	150	(> 50) غياب التعرية
22.2%	68	(500 - 50) تعرية ضعيفة
17.0%	52	(1500 - 500) تعرية متوسطة
11.8%	36	(5000-1500) تعرية شديدة
100.0%	306	

المصدر: بالاعتماد على الخريطة (10) ومخرجات برنامج Arc Map 10.8 .

خوارزمية الأشجار العشوائية:

هناك العديد من خوارزميات التنبؤ الم المستخدمة في تقنيات الذكاء الاصطناعي لغرض التقييم الكمي والنوعي للتعرية المائية، ومن بينها خوارزمية الأشجار العشوائية (Forest Random)، التي يمكن الاستفاد منها بطرق عديدة منها تصنيف بيانات التعرية المائية إلى فئات مختلفة بناءً على متغيرات متعددة مثل درجة الحرارة، ونوع التربة، ومعدل سقوط الأمطار، والرطوبة وغيرها من العوامل. ويمكن أيضاً لهذه الخوارزمية تحليل أهمية المتغيرات في تعرية المياه، مما يساعد في تحديد العوامل الرئيسية التي تؤثر على تغيرات الموارد المائية في الحوض. كما ويمكن استخدام المتغيرات البيئية في خوارزمية الأشجار العشوائية للتنبؤ بالتغيرات المستقبلية في التعرية المائية. أخيراً، ان قدرة هذه الخوارزمية في التعامل مع بيانات معقدة وكبيرة مكنتها من تحليل العلاقات بين المتغيرات المستخدمة في حساب التعرية المائية.

خطوات تنفيذ خوارزمية الأشجار العشوائية لتحليل تعرية المياه:

1. تجميع البيانات: يتم جمع بيانات التعرية المائية والمتغيرات البيئية الأخرى المحتملة التي يمكن أن تؤثر عليها.
2. تقسيم البيانات: يتم تقسيم البيانات إلى مجموعتين (مجموعة تدريب ومجموعة اختبار)، حيث تُستخدم مجموعة التدريب لتدريب النموذج ومجموعة الاختبار لاختبار أداء النموذج.

3. بناء النموذج: يتم بناء مجموعة من الأشجار العشوائية باستخدام بيانات التدريب. ويتم اختيار الأشجار الفردية وتدريبها على عينات متعددة من البيانات بشكل عشوائي.

4. تقييم النموذج: يمكن استخدام مقاييس مثل مقياس دقة التصنيف لتقييم أداء النموذج باستخدام بيانات الاختبار.

5. تحسين النموذج: يتم اختيار المتغيرات المميزة لتحديد المتغيرات الأكثر أهمية في تعرية المياه واستخدامها في تحسين النموذج.

6. تنبؤ التعرية المائية: بعد تدريب النموذج وتقييمه، يمكن استخدامه لتنبؤ التغيرات المستقبلية في تعرية المياه باستخدام المتغيرات البيئية المختلفة.

جمع البيانات تم جمع البيانات الآتية: معدل درجات الحرارة العظمى للمنطقة المدروسة، ومعدل درجات الحرارة الصغرى للمنطقة المدروسة، ومعدل سرعة الرياح، ومعدل كمية الامطار، ومعدل الرطوبة للفترة من 2000 الى 2020 وكما يأتي:

المعدلات الشهرية والمعدل السنوي لدرجات الحرارة العظمى والصغرى (م) لمحطات البحث:

العظمى = [24.2، 26.2، 23.7، 22.1، 29.2، 27.6، 29.3]

الصغرى = [12.3، 15.4، 12.8، 13.3، 11.8، 14.7، 15.8]

المعدل الشهري والسنوي لسرعة الرياح (م/ثا) لمحطات البحث [2، 2، 1.4، 3.7]، [2، 2، 2.2]

المعدلات الشهرية والسنوية لكميات الامطار (مم) لمحطات منطقة البحث = [260.6، 360.5، 401.3، 674.8، 598.4، 803، 666.4]

المعدلات الشهرية والسنوية للرطوبة النسبية (%) لمحطات منطقة البحث = [43.4، 58.2، 45.4، 51.1، 52.1، 47.6، 61.3]

تم تصنيف البيانات (العوامل) الى تصنيف ثنائي، حيث يتم تمثيل القيمة (0) بـ "لا تعرية" والقيمة (1) بـ "تعرية". حيث ان القيمة واحد تعني انه اذا ازدادت قيمة هذا العامل فانه يزيد من معدل التعرية.

كتابة البرنامج:

تم برمجة خوارزمية الأشجار باستخدام لغة البرمجة البايثون Python3.9.0؛ لأنها تعتبر من اللغات البرمجية الحديثة والتي تحتوي على العديد من المكتبات الجاهزة والخاصة بخوارزمية الأشجار العشوائية. والكود البرمجي الآتي يمثل البرنامج الذي تم من خلاله حساب النتائج:

```

*01.py - F:\01\بحث مع د علي\py (3.9.0)*
File Edit Format Run Options Window Help
# استيراد المكتبات اللازمة
from sklearn.model_selection import train_test_split
from sklearn.ensemble import RandomForestClassifier
from sklearn.metrics import accuracy_score

# بيانات التعرية المائية
X = [[29.3, 27.6, 29.2, 22.1, 23.7, 26.2, 24.2], # معدل درجات الحرارة العظمى
      [15.8, 14.7, 11.8, 13.3, 12.8, 15.4, 12.3], # معدل درجات الحرارة الصغرى
      [3.7, 1.4, 2, 2, 2.2, 2, 2], # معدل سرعة الرياح
      [260.6, 360.5, 401.3, 674.8, 598.4, 803, 666.4], # معدل كمية الامطار
      [43.4, 58.2, 45.4, 51.1, 52.1, 47.6, 61.3]] # معدل الرطوبة

y = [1, 1, 1, 1, 1, 1, 0] # تصنيف البيانات

# تقسيم البيانات إلى مجموعة تدريب ومجموعة اختبار
X_train, X_test, y_train, y_test = train_test_split(X, y, test_size=0.2, random_state=42)

# بناء النموذج باستخدام الأشجار العشوائية
model = RandomForestClassifier(n_estimators=100, random_state=42)
model.fit(X_train, y_train)

# تقييم النموذج
y_pred = model.predict(X_test)
accuracy = accuracy_score(y_test, y_pred)
print("دقة النموذج:", accuracy)

# تحليل أهمية المتغيرات
importances = model.feature_importances_
print("أهمية المتغيرات:", importances)

```

تحليل النتائج:

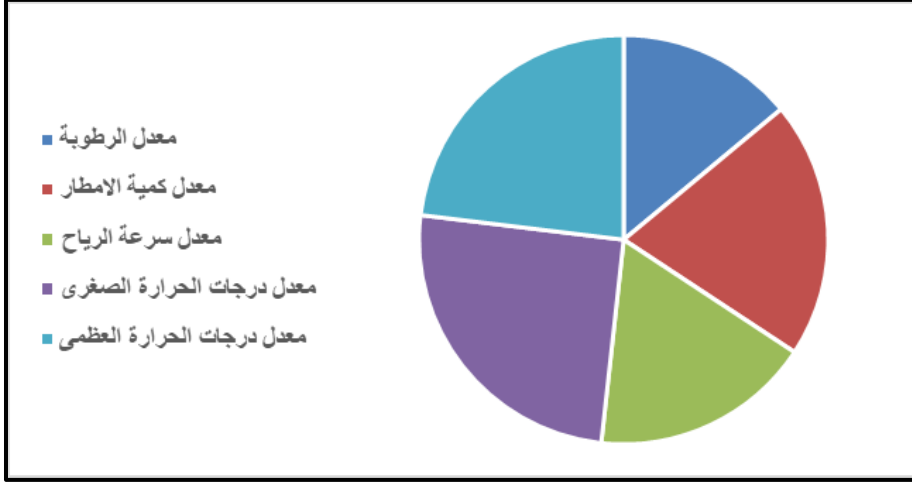
تم حساب دقة النموذج وفق المعادلة الآتية:

الدقة = عدد التوقعات الـ صحيحة التي قام بها النموذج / مجموع التوقعات التي

قام بها النموذج (التوقعات الصحيحة والتوقعات الخاطئة)

حيث كانت دقة النموذج جداً مرتفعة. كما وتم حساب أهمية المتغيرات والحصول على النتائج الآتية (شكل 1):

شكل (1) نسب تأثير عناصر المناخ على التعرية المائية



بالاعتماد على خوارزمية الأشجار العشوائية

معدل درجات الحرارة العظمى: حصل هذا المتغير على قيمة أهمية مرتفعة (0.15942029)، مما يشير إلى أنه له تأثير كبير على النتائج. يمكن أن تكون درجات الحرارة العظمى لها تأثير مباشر وكبير على الظواهر المدروسة.

معدل درجات الحرارة الصغرى: هذا المتغير حصل أيضاً على قيمة أهمية مرتفعة (0.17391304)، مما يعزز فرضية أن درجات الحرارة الصغرى لها تأثير مهم أيضاً على النتائج.

معدل سرعة الرياح: حصل هذا المتغير على قيمة أهمية متوسطة (0.12077295)، مما يشير إلى تأثير متوسط على النتائج. قد تكون سرعة الرياح لها تأثير ملحوظ على الظواهر المدروسة.

معدل كمية الأمطار: حصل هذا المتغير على قيمة أهمية متوسطة (0.14009662)، مما يشير إلى أنه قد يكون له تأثير متوسط على النتائج.

معدل الرطوبة: حصل هذا المتغير على قيمة أهمية منخفضة (0.09661836)، مما يعني أنه قد يكون له تأثير أقل على النتائج مقارنة بالمتغيرات الأخرى.

تحليل هذه النتائج يوضح أن درجات الحرارة العظمى والصغرى لها تأثير كبير على النتائج، بينما سرعة الرياح وكمية الأمطار لها تأثير متوسط، ومعدل الرطوبة له تأثير أقل.

الاستنتاجات:

1. بينت نتائج مطابقة الطبقة الجيولوجية مع طبقة التعرية المائية ضمن منطقة البحث وجود علاقة عكسية بين شدة التعرية المائية والتكوينات الجيولوجية، إذ تزداد شدة التعرية المائية في التكوينات الأقل صلابة، إلا أن صخور المنطقة تتأثر بشكل عام بمخاطر التعرية المائية بدرجاتها المختلفة.
2. اتضح من خلال مطابقة طبقة الانحدار مع طبقة التعرية المائية أن هناك تطابقاً بعلاقة طردية، إذ تطابقت المناطق ذات درجات الانحدار الشديد مع التعرية المائية الشديدة، وقد تبين أن لدرجة الانحدار وطول المنحدر عوامل تتعلق بنفاذية التربة للمياه، وكما قلت نفاذية التربة للمياه زادت خطورة التعرية المائية، والعكس صحيح. من خلال دمج طبقتي النبات الطبيعي والتعرية المائية اتضح أن هناك علاقة عكسية بين كثافة غطاء النبات الطبيعي و شدة التعرية المائية، إذ كلما قل الغطاء النباتي زادت شدة التعرية المائية، والعكس صحيح .
3. تبين أن للتعرية المائية مخاطر على الاستيطان البشري والزراعة وطرق النقل والمواصلات و سمك التربة وانخفاض نسبة المادة العضوية وقابليتها للإنتاج والمراعي، فضلاً عن تأثيرها على السياحة وتنميتها في المنطقة .
4. من خلال تطبيق منهجية PAP/CAR ونظم المعلومات الجغرافية اتضح ان هناك تباين في التعرية المائية داخل احواض منطقة البحث بين الضعيفة جدا الى الشديدة جدا بفعل تظافر مجموعة العوامل الطبيعية والبشرية ، ولوحظ وجود علاقة عكسية بين الصخرية والغطاء النباتي مع التعرية المائية المحتملة

PAP/CAR فكما قلت الـ صخرية والنبات الطبيعي كلما زادت التعرية المائية

المقترحات:

1. أن منطقة البحث تشهد ورود كم مائي هائل، مما يستدعي ضرورة إنشاء محطات مناخية وأخرى هيدرولوجية، بعد العمل على ربط اودية الأحواض في مجرى واحد عند المصب .
2. معالجة المناطق التي تعاني من مشاكل التعرية المائية الشديدة، أو تلك التي ستتعرض لتعرية مائية محتملة مستقبلاً واستغلال مناطق التعرية المائية المعدومة أو الضعيفة التي تم تحديدها في خرائط هذه البحث واستخدامها للاستعمالات البشرية المختلفة .
3. بناء اسيجة صخرية أو اسلاك شائكة ومشبكة خط واحد أو أكثر على سفوح المنحدر ولاسيما جوانب الطرق على سفوح المنحدرات ومنع وصول المواد الأرضية الى الأسفل مع زراعة الأشجار والنباتات لاسيما تلك التي تتمتع بمرود اقتصادي جيد وذات جذور عميقة ومتشابكة على ان يتم زراعتها بشكل شريطي يوازي خطوط الكنتور في المناطق المرتفعة وعدم حراثة الأرض عكسها وذلك لتفادي زيادة خطورة التعرية المائية .
4. انشاء سدود صغيرة، والعمل على حصد المياه للاستفادة منها في مختلف المجالات ولاسيما الزراعة للتقليل من مخاطر التعرية المائية .

الهوامش

- *الاحذ بنظر الاعتبار عند انشاء الطرق في المناطق السهلية إمكانية استبدال التربة ذات الرواسب الغرينية بمواد قابلة للتحمل والضغط والحد من اجل تجنب حدوث المطبات والت موجات والهبوط فيها..
- *القيام بعمليات صيانة دورية لطرق النقل بصورة مستمرة، وخاصة التي تتعرض لعمليات التخسفات والتكسرات نتيجة ارتفاع درجات الحرارة.

•¹⁶-Abdul Ilah Razouki Karbel and Majid Al-Sayyid Wali Muhammad, Weather and Climate Science, Ministry of Higher Education and Scientific Research, University of Basra, 1987.

•¹⁷-Adnan Odeh Al-Taie, Hydroclimatic Euphrates Basin and its Impact on Determining Iraq's Water Supply, PhD thesis (unpublished), College of Education, Ibn Rushd, University of Baghdad, 2012.

•¹⁸- Shaker Abd Ayed Al-Zaidi, The Impact of Climate Change on the Qualitative Characteristics of the Waters of the Marshes of Southern Iraq, Yearbook Journal of the Forum for Human Studies, Issue 43, 2019.

•¹⁹-Abbas Muhaisen Zughayr Al-Mariani and Shaker Abd Ayed Al-Zaidi, Analysis of climate change indicators and their relationship to the variation and assessment of

the environmental characteristics of the waters of the marshes of southern Iraq, Dhi Qar Arts Magazine, Issue 31, 2019.

•²⁰-Azad Muhammad Amin Al-Naqshbandi and Taghlib Zarzis Daoud, Geography of Natural Resources, 1st Edition, Ministry of Higher Education and Scientific Research Press, University of Basra, 1988.

• 21- Hind Khalil Ibrahim Al-Jabri, Khaled Sabbar Mohamed, Spatial Analysis of Water Harvesting Areas in the Wadi Akashat Basin and the Possibility of Investing Them for Development Purposes, Midad Adab Magazine, Issue 13, 2023

•²²- Ali Hussein Al-Shalash, Soil Geography, 1st Edition, Basra University Press, Basra, 1985.

•²³-Adnan Karim Kahar Al-Jubouri, The Effect of Temperature and Rainfall Elements on Natural Vegetation Diversity in the Governorates of Sulaymaniyah, Kirkuk and Muthanna, PhD thesis (unpublished), Faculty of Arts, University of Qadisiya, 2021.

•²⁴- Ali Hussein Al-Shalash and others, Geography of Climatic Regions, Baghdad University Press, Baghdad, 1978.

(1) الكربولي، علي سليمان ارزيك ، اساسيات الجغرافية الطبيعية ، الطبعة الاولى، عمان، دار المجتمع العربي للنشر والتوزيع، 2023.

(2) Salah Mohamed Salah Diab, Using Geomatics to Estimate Water Erosion Risks in the Wadi Khoury Basin by Applying the EPM Model, Menoufia University, Faculty of Arts, Journal of the Center for Geographical and Cartographic Research, 2019, p. 874..

(3) Al-Karbouli, I. D. A. S. (2022). The analysis of the Hydro morphometric properties of the valley Halewat basin in Anbar governorate using remote sensing and Geographic Information Systems. *Midad Al-Adab Refereed Journal*, 1(25).

(4) صفية شاكر معنوق، توظيف التقنيات الجغرافية الحديثة في تقدير حجم التعرية المائية لحوض وادي سرّة خاتون بالاعتماد على نموذج EPM، جامعة البصرة، مركز دراسات البصرة والخليج العربي، مجلة كلية التربية الأساسية، العدد (111)، المجلد (27)، 2021، ص 845 .

(5) أحمد عيادة خضير، عمر احمد عودة، تحليل الخصائص الفيزيائية والكيميائية لنماذج مختارة من ترب احواض المنطقة المحصورة بين حوض وادي حجلان وحوض وادي القصر، مجلة مداد الآداب المحكمة المجلد (3) العدد (30).

(6) شعوان جمال، توظيف الاستشعار عن بعد ونظم المعلومات الجغرافية في دراسة التعرية المائية بالريف الاوسط، حوض امزاز انموذجا، اطروحة دكتوراه (غير منشورة) جامعة سيدي محمد بن عبدالله، كلية الآداب والعلوم الانسانية سايس، 2015

(7) شعوان جمال، توظيف الاستشعار عن بعد ونظم المعلومات الجغرافية في دراسة التعرية المائية بالريف الاوسط، حوض امزاز انموذجا، اطروحة دكتوراه (غير منشورة) جامعة سيدي محمد بن عبدالله، كلية الآداب والعلوم الانسانية سايس، 2015 .

(8) رحيم حمدان العبيدي، محمد جعفر السامرائي، التعرية المطرية السفوح منحدرات تلال حميرين باستخدام تقنية نظم المعلومات الجغرافية (GIS)، مجلة كلية الآداب، جامعة بغداد، العدد (81)، 2008، ص 328.

(9) الغامدي، سعد أبو راس، تطبيق نموذج جافريلوفيك لتقدير مخاطر التعرية المائية في حوض وادي عمال بوسائل تقنيات الاستشعار عن بعد ونظم المعلومات الجغرافية، جامعة أم القرى، مكة المكرمة، المجلة المصرية للتغير البيئي، 2009.

المصادر:

1. رحيم حمدان العبيدي، محمد جعفر السامرائي، التعرية المطرية السفوح منحدرات تلال حميرين باستخدام تقنية نظم المعلومات الجغرافية (GIS)، مجلة كلية الآداب، جامعة بغداد، العدد (81)، 2008، ص 328.

2. شعوان جمال، توظيف الاستشعار عن بعد ونظم المعلومات الجغرافية في دراسة التعرية المائية بالريف الاوسط، حوض امزاز انموذجا، اطروحة دكتوراه (غير منشورة) جامعة سيدي محمد بن عبدالله، كلية الآداب والعلوم الانسانية سايس، 2015 .

3. صفية شاكر معتوق، توظيف التقنيات الجغرافية الحديثة في تقدير حجم التعرية المائية لحوض وادي سرّة خاتون بالاعتماد على نموذج EPM، جامعة البصرة، مركز دراسات البصرة والخليج العربي، مجلة كلية التربية الأساسية، العدد (111)، المجلد (27)، 2021، ص 845 .

4. الكربولي، علي سليمان ارزيك ، اساسيات الجغرافية الطبيعية ، الطبعة الاولى، عمان، دار المجتمع العربي للنشر والتوزيع، 2023.

5. الغامدي، سعد أبو راس، تطبيق نموذج جافريلوفيك لتقدير مخاطر التعرية المائية في حوض وادي عمال بوسائل تقنيات الاستشعار عن بعد ونظم المعلومات الجغرافية، جامعة أم القرى، مكة المكرمة، المجلة المصرية للتغير البيئي، 2009.

6. Al-Karbouli, I. D. A. S. (2022). The analysis of the Hydro morphometric properties of the valley Halewat basin in Anbar governorate using remote sensing and Geographic Information Systems. *Midad Al-Adab Refereed Journal*, 1(25).

7. قصي عبد المجيد السامرائي، المناخ والاقاليم المناخية، عمان، الأردن، 2008 .

8. Salah Mohamed Salah Diab, Using Geomatics to Estimate Water Erosion Risks in the Wadi Khoury Basin by Applying the EPM Model, Menoufia

University, Faculty of Arts, Journal of the Center for Geographical and Cartographic Research, 2019, p. 874..

9. أحمد عيادة ذضير، عمر احمد عودة، تحليل الذ صائص الفيزيائية والكيميائية لنماذج مختارة من ترب احواض المنطقة المحصورة بين حوض وادي حجلان وحوض وادي القصر، مجلة مداد الآداب المحكمة المجلد (3) العدد (30).

10. 9) Al-Karbouli, Ali Suleiman Arzik, Fundamentals of Natural Geography, First Edition, Amman, Dar Al-Jama'a Al-Arabi for Publishing and Distribution, 2023.

11. (9) Salah Mohamed Salah Diab, Using Geomatics to Estimate Water Erosion Risks in the Wadi Khoury Basin by Applying the EPM Model, Menoufia University, Faculty of Arts, Journal of the Center for Geographical and Cartographic Research, 2019, p. 874..

12. (9)Al-Karbouli, I. D. A. S. (2022). The analysis of the Hydro morphometric properties of the valley Halewat basin in Anbar governorate using remote sensing and Geographic Information Systems. Midad Al-Adab Refereed Journal, 1(25).

13. 9 Safiya Shaker Maatouk, Employing Modern Geographical Techniques in Estimating the Volume of Water Erosion of Wadi Surra Khatun Basin Based on the EPM Model, University of Basra, Basra and Arabian Gulf Studies Center, Journal of the College of Basic Education, Issue (111), Volume (27), 2021, p. 845.

14. Ahmad9 Ayada Khudair, Omar Ahmed Odeh, Analysis of the physical and chemical properties of selected models of soil basins in the area between the Wadi Hajlan basin and the Wadi Al-Qasr basin, Midad Al-Adab Refereed Journal, Volume (3), Issue (30).

15. 9 Shawan Jamal, Employing Remote Sensing and GIS in the Study of Water Erosion in the Central Countryside, Amzaz Basin as a Model, PhD thesis (unpublished), Sidi Mohamed Ben Abdallah University, Faculty of Arts and Humanities Saiss, 2015

16. 9 Shawan Jamal, Employing Remote Sensing and Geographic Information Systems in the Study of Water Erosion in the Central Countryside, Amzaz Basin as a Model, PhD thesis (unpublished), Sidi Mohamed Ben Abdallah University, Faculty of Arts and Humanities, Saiss, 2015.

17. 9 Rahim Hamdan Al-Obaidi, Muhammad Jaafar Al-Samarrai, Rain Erosion Slopes of Hamrin Hills Using Geographic Information Systems (GIS) Technology, Journal of the College of Arts, University of Baghdad, No. (81), 2008, p. 328.

18. 9 Al-Ghamdi, Saad Abu Ras, Application of the Gavrillovik Model for Estimating the Risk of Water Erosion in Wadi Amel Basin by Remote Sensing

and GIS Techniques, um Al-Qura University, Makkah, Egyptian Journal of Environmental Change, 2009.

19. Rahim Hamdan Al-Obaidi, Muhammad Jaafar Al-Samarrai, Rain-stripping the slopes of the Hamrin Hills using Geographic Information Systems (GIS) technology, Journal of the College of Arts, University of Baghdad, Issue (81), 2008, p. 328.

20. Shawan Jamal, Employing Remote Sensing and GIS in the Study of Water Erosion in the Central Countryside, Amzaz Basin as a Model, PhD thesis (unpublished), Sidi Mohamed Ben Abdullah University, Faculty of Arts and Humanities, Saiss, 2015.

21. Safia Shaker Maatouk, Employing Modern Geographical Techniques in Estimating the Volume of Water Erosion of the Wadi Surra Khatun Basin Based on the EPM Model, University of Basra, Basra and Arabian Gulf Studies Center, Journal of the College of Basic Education, Issue (111), Volume (27), 2021, p. 845.

22. Abbas, A. M., Taher, M. A., Abbood, N. H., & Amin, R. M. (2024). Qualitative Assessment of Water Erosion in Zawita Town in Dohuk Governorate within Kurdistan Region in Iraq, Using the (PAP/CAR) Model. *Kurdish Studies*, 12(2), 5159-5171.

23. Al-Karbouli, Ali Suleiman Arzik, Fundamentals of Natural Geography, First Edition, Amman, Dar Al-Jama'a Al-Arabi for Publishing and Distribution, 2023.

24. Al-Ghamdi, Saad Abu Ras, Application of Gavrilovik Model for Estimating Water Erosion Risks in Wadi Amel Basin by Remote Sensing and GIS Techniques, um Al-Qura University, Makkah, Egyptian Journal of Environmental Change, 2009.

25. Al-Karbouli, I. D. A. S. (2022). The analysis of the Hydro morphometric properties of the valley Halewat basin in Anbar governorate using remote sensing and Geographic Information Systems. *Midad Al-Adab Refereed Journal*, 1(25).

26. قصي عبد المجيد السامرائي، المناخ والاقاليم المناخية، عمان، الأردن، 2008 .

27. Salah Mohamed Salah Diab, Using Geomatics to Estimate Water Erosion Risks in the Wadi Khoury Basin by Applying the EPM Model, Menoufia University, Faculty of Arts, Journal of the Center for Geographical and Cartographic Research, 2019, p. 874..

28. Ahmad Eyada Khudair, Omar Ahmed Odeh, Analysis of the physical and chemical properties of selected models of soil basins between the basin of Wadi Hajlan and the basin of Wadi Al-Qasr, *Midad Al-Adab Refereed Magazine*, Volume (3), Issue (30).